

УДК 548.24

## **ВЕТВЛЕНИЕ ПОЛОС СДВИГА АМОРФНЫХ МАТЕРИАЛОВ**

**М.Н. ВЕРЕЩАГИН, О.М. ОСТРИКОВ**

*Учреждение образования «Гомельский государственный  
технический университет имени П.О. Сухого»,  
Республика Беларусь*

1. В работе [1] говорилось о том, что основными каналами пластической деформации твердых тел являются двойникование и скольжение. Однако аморфные материалы проявляют специфическую реакцию на деформирование. Как указывалось в [2], пластическая деформация конденсированных систем, не имеющих дальнего порядка, протекает путем развития специфических дефектов, называемых полосами сдвига. Следует отметить, что под общепринятым (см., например, [2]) термином «полоса сдвига» в аморфном материале подразумевается иное по своей структуре образование, по сравнению с полосами сдвига в моно- и поликристаллах. В настоящее время полосы сдвига в аморфных материалах являются малоизученным явлением, наблюдаемым в деформируемых твердых телах [3]. Нет непротиворечивой физической картины, полно отражающей механизмы пластической деформации аморфных материалов. Отсутствует модель, учитывающая все особенности внутреннего строения полос сдвига. Поэтому с научной точки зрения работа в данном направлении представляется актуальной и целесообразной. С практической точки зрения изучение механических свойств аморфных материалов важно в плане их применения в технике.

Целью данной работы стало изучение ветвления полос сдвига на основании дислокационной модели, учитывающей особенности внутреннего строения полосы сдвига.

2. Ветвление полос сдвига проявляется при интенсивной пластической деформации и является следствием взаимодействия полос сдвига с композиционными включениями, зернами кристаллической фазы или концентраторами напряжений. Подобное явление наблюдается, например, при двойниковании [4]. Это говорит о возможности проведения аналогий в развитии пластической деформации монокристаллических и аморфных материалов.

На рис. 1 показан случай ветвления полосы сдвига, возникшей у концентратора напряжения, в качестве которого в данной работе выступала алмазная пирамида Виккерса прибора ПМТ-3. В [2] приведено детальное изображение внутренней структуры полосы сдвига, на основании которого в данной работе предлагается дислокационная модель ветвящейся полосы сдвига, что схематически представлено на рис. 2. В качестве особенностей строения полос сдвига выступают поры и области сцепления частей аморфного материала, находящихся по разные стороны по отношению к плоскости сдвига. Эти особенности строения полос сдвига в модели, представленной на рис. 2, учтены путем чередования пор и цепочек краевых дислокаций. Следует отметить, что в реальном случае величины пор не одинаковы. Но в данной работе для простоты вычислений без ущерба для общности результатов предположим, что поры полосы сдвига одинаковы и длина отдельных дислокационных цепочек и число дислокаций в них также одинаковы. Свяжем начало декартовой системы

координат с полосой сдвига так, как это показано на рис. 2. Тогда поля напряжений у прямолинейной полосы сдвига могут быть определены из соотношений:

$$\begin{aligned}\sigma_{xx} &= -\frac{\mu b}{2\pi(1-\nu)} \sum_{m=0}^M \sum_{n=0}^N \frac{y[3(x+nd+m(l+Nd))^2+y^2]}{[(x+nd+m(l+Nd))^2+y^2]^2}, \\ \sigma_{yy} &= \frac{\mu b}{2\pi(1-\nu)} \sum_{m=0}^M \sum_{n=0}^N \frac{y[(x+nd+m(l+Nd))^2-y^2]}{[(x+nd+m(l+Nd))^2+y^2]^2}, \\ \sigma_{zz} &= -\frac{\mu b \nu}{\pi(1-\nu)} \sum_{m=0}^M \sum_{n=0}^N \frac{y^2}{(x+nd+m(l+Nd))^2+y^2}; \\ \sigma_{xy} &= \frac{\mu b}{2\pi(1-\nu)} \sum_{m=0}^M \sum_{n=0}^N \frac{(x+nd+m(l+Nd))[(x+nd+m(l+Nd))^2-y^2]}{[(x+nd+m(l+Nd))^2+y^2]^2},\end{aligned}\quad (1)$$

где  $\mu$  – модуль сдвига;  $b$  – вектор Бюргерса;  $\nu$  – коэффициент Пуассона;  $m$  и  $n$  – индексы суммирования;  $M$  – число пор;  $N$  – число дислокаций в цепочке;  $l$  – размер пор;  $d$  – расстояние между дислокациями в дислокационных цепочках.

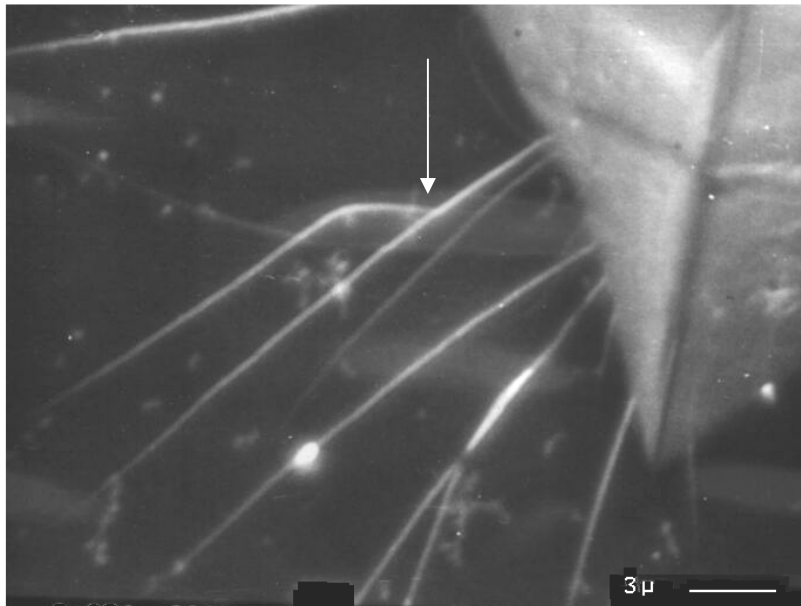


Рис. 1. Ветвление полосы сдвига. Снимок сделан с помощью растрового электронного микроскопа CamScan-4

Вообще говоря, понятие вектора Бюргерса в аморфной среде кристаллографически не определено. Однако в рассматриваемой модели дислокации используются для удобства математического описания напряженного состояния вблизи полосы сдвига. Поэтому величина вектора Бюргерса в рассматриваемой модели определяет мощность напряжений, возникающих в областях контакта структурных составляющих полосы сдвига. Направление вектора Бюргерса выбрано с учетом направления действия внешних сдвиговых напряжений.

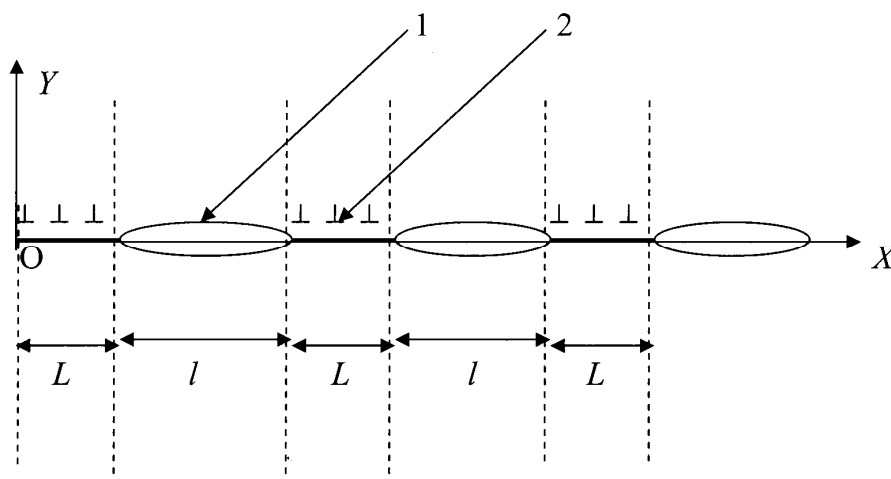


Рис. 2. Схема полосы сдвига: 1 – поря; 2 – дислокационная цепочка;  $L$  – размер дислокационной цепочки

На рис. 3 представлена модель ветвящейся полосы сдвига. Для упрощения задачи предположим, что отрезки AC и DE параллельны. Пусть расстояние между ними равно  $H$ . Тогда поля напряжений у отрезка AC ветвящейся полосы сдвига определятся по формуле (1). Не трудно показать, что поля напряжений у отрезка DE можно рассчитать из соотношений:

$$\begin{aligned} \sigma_{xx} &= -\frac{\mu b}{2\pi(1-\nu)} \sum_{i=0}^I \sum_{j=0}^J \frac{(y+H)[3((x+L)+jd+i(l+Jd))^2+(y+H)^2]}{[((x+L)+jd+i(l+Jd))^2+(y+H)^2]^2}, \\ \sigma_{yy} &= \frac{\mu b}{2\pi(1-\nu)} \sum_{i=0}^I \sum_{j=0}^J \frac{(y+H)[((x+L)+jd+i(l+Jd))^2-(y+H)^2]}{[((x+L)+jd+i(l+Jd))^2+(y+H)^2]^2}, \\ \sigma_{zz} &= -\frac{\mu b \nu}{\pi(1-\nu)} \sum_{i=0}^I \sum_{j=0}^J \frac{(y+H)^2}{((x+L)+jd+i(l+Jd))^2+(y+H)^2}, \\ \sigma_{xy} &= \frac{\mu b}{2\pi(1-\nu)} \sum_{i=0}^I \sum_{j=0}^J \frac{((x+L)+jd+i(l+Jd))[(x+L)+jd+i(l+Jd)]-(y+H)^2}{[((x+L)+jd+i(l+Jd))^2+(y+H)^2]^2}, \end{aligned} \quad (2)$$

где  $i$  и  $j$  – индексы суммирования;  $I$  – число пор, а  $J$  – число дислокаций в цепочке полосы сдвига, отмеченной отрезком DE на рис. 3.

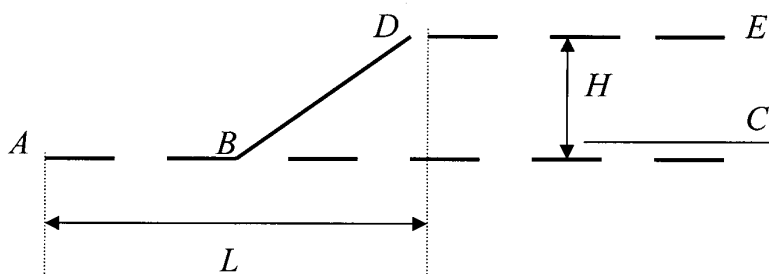


Рис. 3. Схема ветвящейся полосы сдвига. Отрезки – цепочки дислокаций. AC – материнская полоса сдвига; BDE – дочерняя полоса сдвига

Для простоты расчетов, без ущерба общности результатов, компоненты тензора напряжений, создаваемых отрезком  $BD$  ветвящейся полосы сдвига, определим как напряжения, формируемые дислокационной лестницей [5], схематически представленной на рис. 4. Пусть  $d$  и  $h$  – проекции, соответственно, на ось  $OX$  и  $OY$  отрезка, соединяющего две соседние дислокации (см. рис. 4). Тогда поля напряжений у рассматриваемого скопления дислокаций будут определяться из соотношений:

$$\begin{aligned}\sigma_{xx} &= -\frac{\mu b}{2\pi(1-\nu)} \sum_{k=0}^K \frac{(y+kh)[3(x+kd+S)^2 + (y+kh)^2]}{[(x+kd+S)^2 + (y+kh)^2]^2}, \\ \sigma_{yy} &= \frac{\mu b}{2\pi(1-\nu)} \sum_{k=0}^K \frac{(y+kh)[(x+kd+S)^2 - (y+kh)^2]}{[(x+kd+S)^2 + (y+kh)^2]^2}, \\ \sigma_{zz} &= -\frac{\mu b \nu}{\pi(1-\nu)} \sum_{k=0}^K \frac{(y+kh)^2}{[(x+kd+S)^2 + (y+kh)^2]^2}, \\ \sigma_{xy} &= \frac{\mu b}{2\pi(1-\nu)} \sum_{k=0}^K \frac{(x+kd+S)[(x+kd+S)^2 - (y+kh)^2]}{[(x+kd+S)^2 + (y+kh)^2]^2},\end{aligned}\quad (3)$$

где  $k$  – индекс суммирования;  $K$  – максимальное число дислокаций в скоплении;  $S$  – длина отрезка  $AB$  (см. рис. 3).

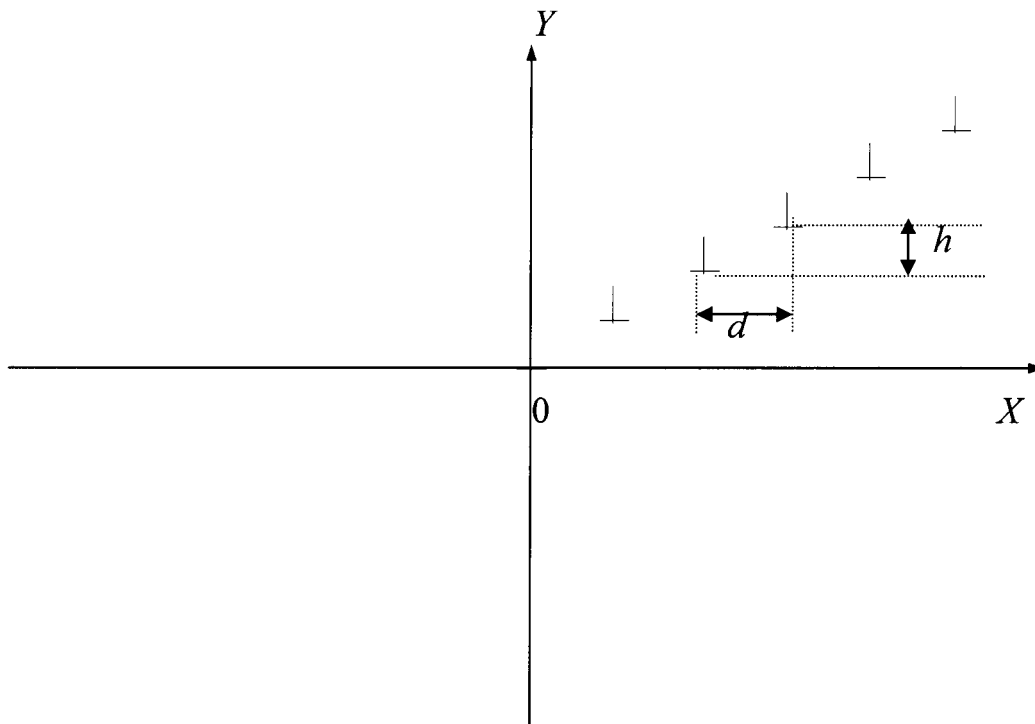


Рис. 4. Схема дислокационной лестницы

Следует отметить, что в (3)  $K$  следует выбирать не любое. Необходимо, чтобы последняя дислокация в лестнице находилась в точке  $B$ , или ниже ее на величину  $h$ . Первый случай приемлем, когда полоса  $DE$  начинается с поры. Во втором случае при начале полосы  $DE$  в точке  $B$  будут находиться две дислокации. Поэтому в данном случае необходимо принять  $K$  удовлетворяющим соотношениям:

$$K = \frac{H}{h} - 1 \text{ и } K = \frac{L-S}{d} - 1. \quad (4)$$

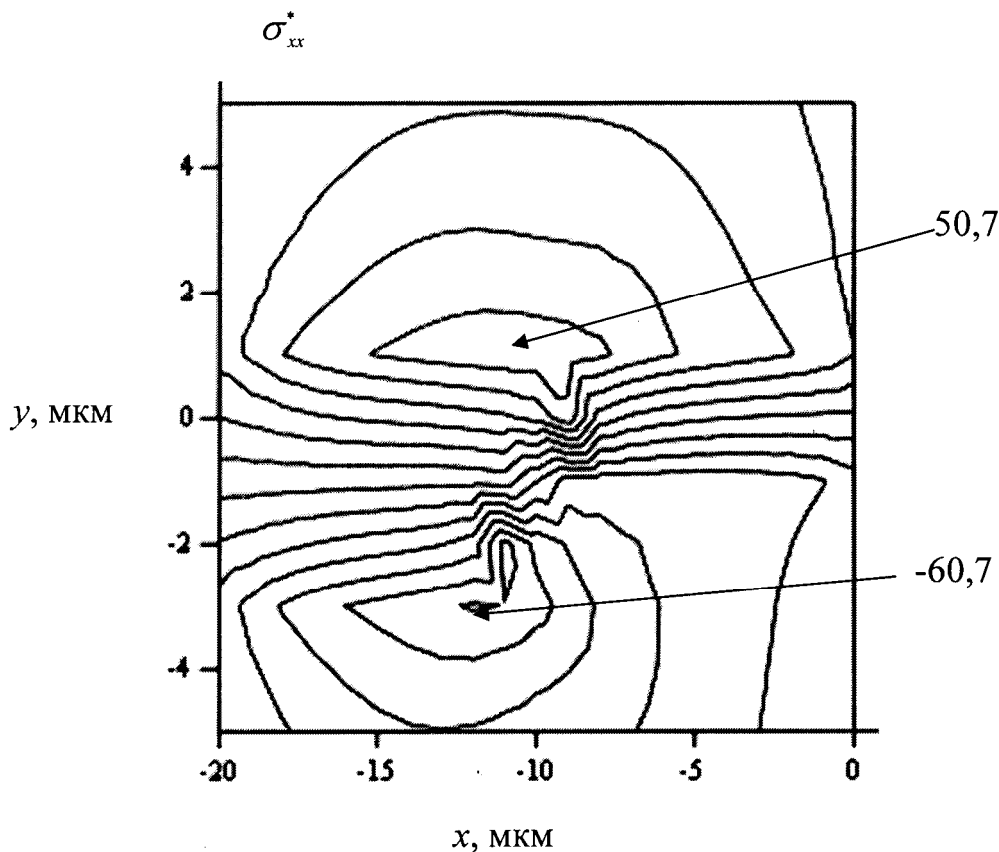
Отсюда

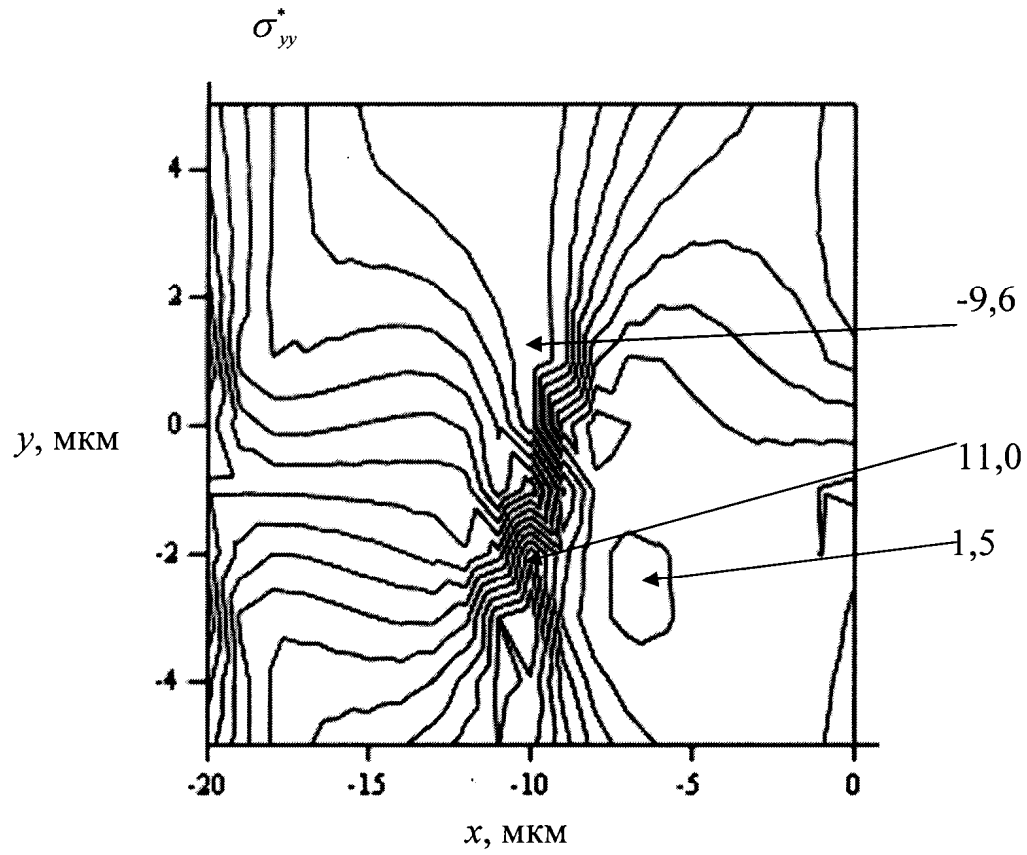
$$\frac{d}{h} = \frac{L-S}{H}. \quad (5)$$

Суммируя соответствующие компоненты тензора напряжений, определяемые соотношениями (1), (2) и (3), учитывая (4) и (5), найдем поля напряжений, создаваемые ветвящейся полосой сдвига.

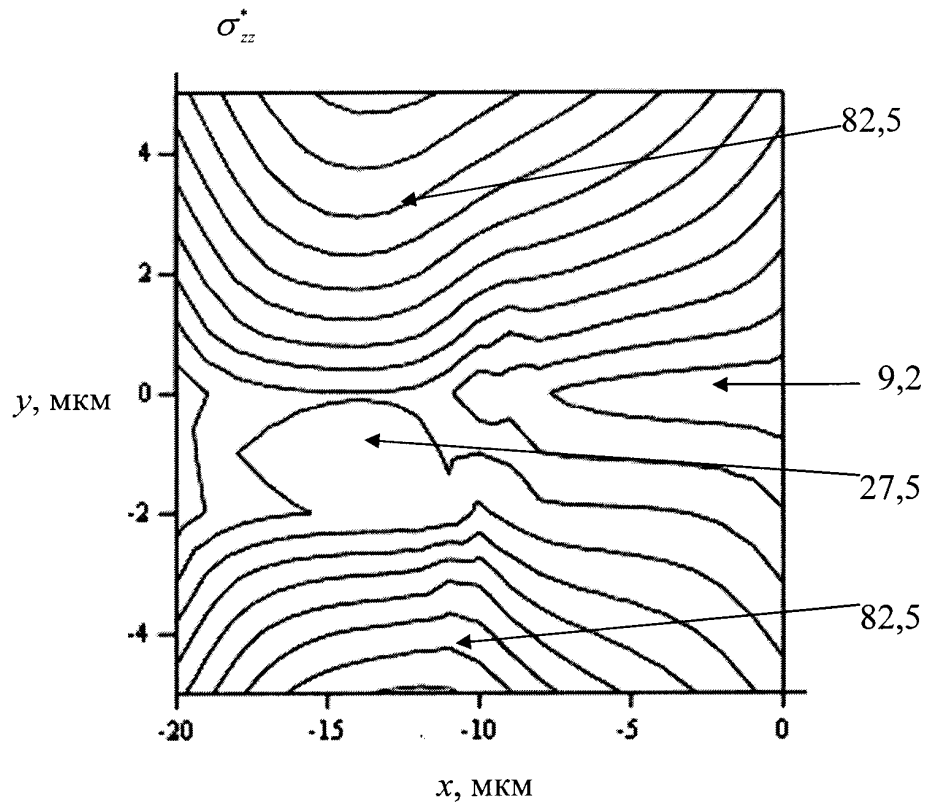
3. Результаты расчетов представлены на рис. 5. Было принято  $M = 9$ ;  $N = 10$ ;  $I = 4$ ;  $J = 10$ ;  $H = 2$ ;  $S = 9$ ;  $L = 10$ ;  $l = 1$ ;  $d = 0,1$ ;  $h = 0,1$ . Для удобства строились функции  $\sigma_{xx}^* = \sigma_{xx}^*(x, y)$ ;  $\sigma_{yy}^* = \sigma_{yy}^*(x, y)$ ;  $\sigma_{zz}^* = \sigma_{zz}^*(x, y)$ ;  $\sigma_{xy}^* = \sigma_{xy}^*(x, y)$ , где  $\sigma_{xx}^* = \sigma_{xx}/(-A)$ ;  $\sigma_{yy}^* = \sigma_{yy}/A$ ;  $\sigma_{zz}^* = \sigma_{zz}/(-2\nu A)$ ;  $\sigma_{xy}^* = \sigma_{xy}/A$  (здесь  $A = \frac{\mu b}{2\pi(1-\nu)}$ ). Это позволило не

учитывать численное значение константы  $A$ , в то время как на конфигурации полей напряжений это не отражается.

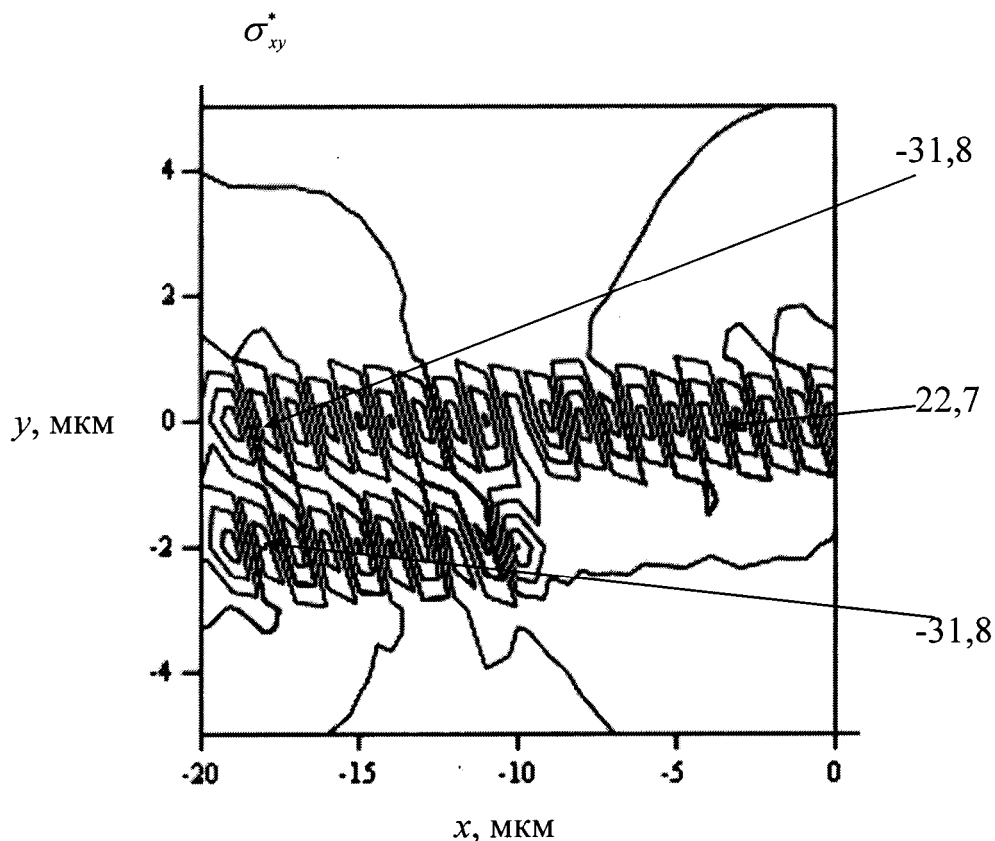




б)



в)



г)

Рис. 5. Результаты компьютерного расчета полей напряжений у ветвящейся полосы сдвига: а)  $\sigma_{xx}^* = \sigma_{xx}^*(x, y)$ ; б)  $\sigma_{yy}^* = \sigma_{yy}^*(x, y)$ ; в)  $\sigma_{zz}^* = \sigma_{zz}^*(x, y)$ ; г)  $\sigma_{xy}^* = \sigma_{xy}^*(x, y)$ .  
 $M = 9$ ;  $N = 10$ ;  $I = 4$ ;  $J = 10$ ;  $H = 2$ ;  $S = 9$ ;  $L = 10$ ;  $l = 1$ ;  $d = 0,1$ ;  $h = 0,1$

Следует отметить, что ветвящаяся полоса сдвига на рис. 5 расположена таким образом, что отрезки AC и DE (см. рис. 3) направлены вдоль отрицательного направления оси OX.

Из рис. 5 видно, что наличие ветвящейся полосы сдвига существенно осложняет деформационную картину. Это приводит к тому, что в целом уровень напряжений у дочерней полосы сдвига выше, чем у материнской. Так область максимальных нормальных напряжений  $\sigma_{xx}^*$  и  $\sigma_{yy}^*$  находится у начала дочерней полосы сдвига, соответствующего точке D на рис. 3. Области максимальных напряжений  $\sigma_{zz}^*$  удалены от рассматриваемой полосы сдвига и симметрично расположены по отношению к ней. Скальвающие напряжения  $\sigma_{xy}^*$  максимальны у вершин материнской и дочерней полос сдвига.

4. Распределение примесей у ветвящейся полосы сдвига можно рассчитать по формуле [6]:

$$C = C_0 \exp\left(-\frac{U}{kT}\right), \quad (6)$$

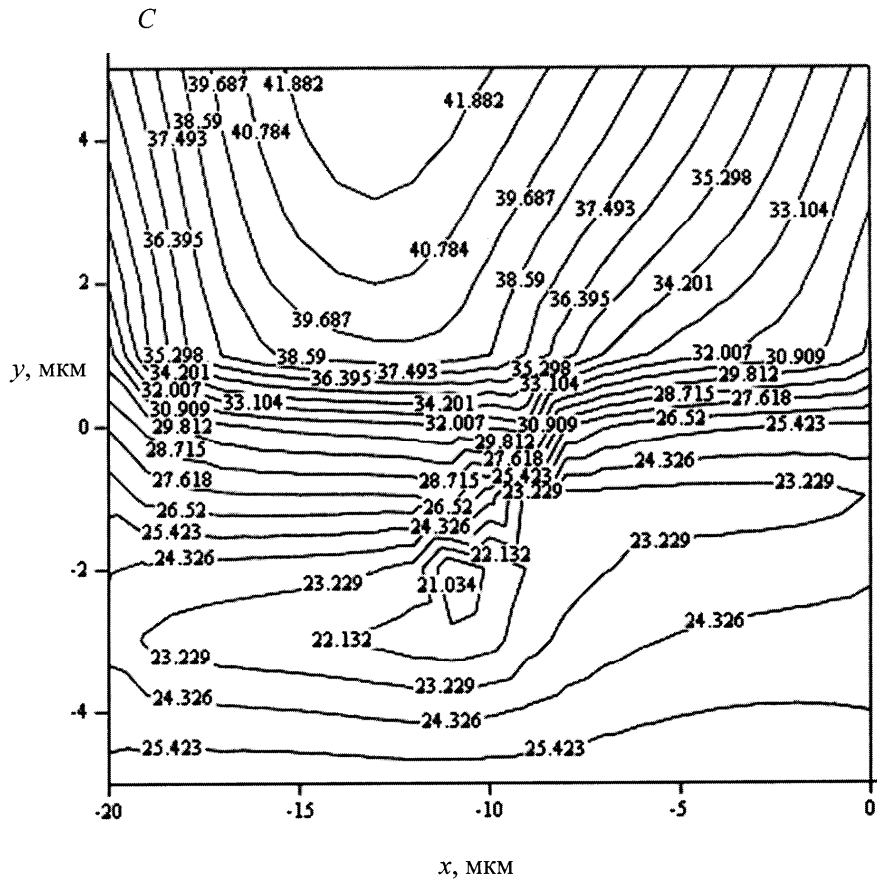
где  $C_0$  – концентрация примеси вдали от внутренних источников напряжений;  $k$  – постоянная Больцмана;  $T$  – абсолютная температура. Энергия  $U$  взаимодействия примеси с полосой сдвига определяется по формуле:

$$U = -\frac{4}{3} \pi r^3 \varepsilon (\sigma_{xx} + \sigma_{yy} + \sigma_{zz}), \quad (7)$$

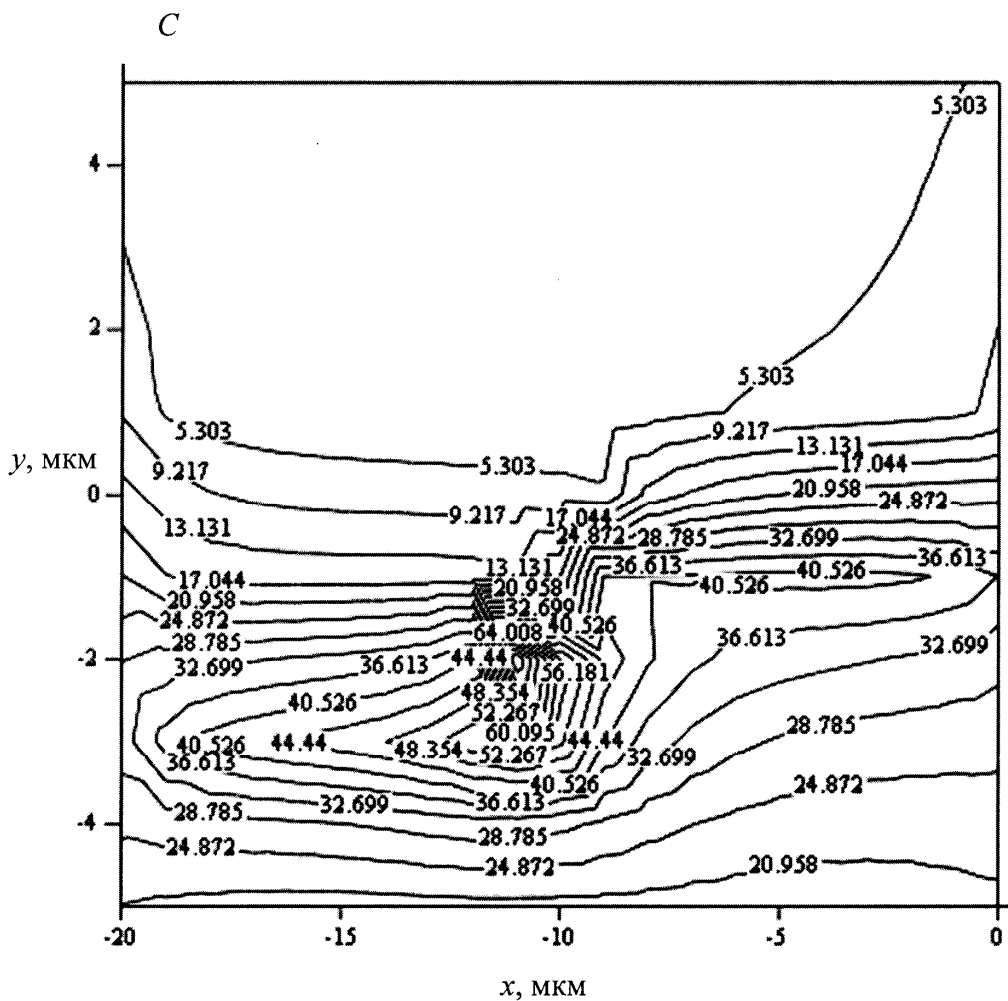
где  $r$  – радиус атома матрицы;  $\varepsilon = (r_0 - r)/r$  – малый параметр (здесь  $r_0$  – радиус атома примеси).

Подстановка из (1), (2) и (3) в (7) выражений для нормальных компонент тензора напряжений и последующая подстановка (7) в (6) даст расчетную формулу для определения распределения примесей у ветвящейся полосы сдвига.

5. Результаты компьютерного расчета представлены на рис. 6. Рассмотрены две ситуации, обусловленные соотношением между радиусами атомов матрицы и примеси. Это продемонстрировано на примере бинарных систем Fe-B (рис. 6 а) и Fe-Mo (рис. 6 б), имеющих важное значение в экспериментальных исследованиях [2, 7]. Видно, что бор в системе Fe-B локализуется преимущественно у материнской полосы сдвига, в некотором удалении от нее (см. рис. 6 а), а молибден в Fe-Mo – у дочерней полосы сдвига. Таким образом, при рассмотрении тройной системы Fe-Mo-B, можно заключить, что наличие в аморфной среде ветвящейся полосы сдвига будет способствовать формированию боридной фазы у материнской полосы сдвига, а фазы Fe-Mo – у дочерней.







б)

Рис. 6. Результаты расчета распределения примесей у ветвящейся полосы сдвига:  
 а) случай  $r_0 < r$ , система Fe-B,  $r_0 = 0,97 \text{ \AA}$ ; б) случай  $r_0 > r$ , система Fe-Mo,  
 $r_0 = 2,87 \text{ \AA}$ . Принималось  $b = 2,87 \text{ \AA}$ ;  $\nu = 0,33$ ;  $r = 1,27 \text{ \AA}$ ;  $C_0 = 25$ ;  $T = 300 \text{ K}$

6. Таким образом, на основании дислокационной модели полосы сдвига в аморфном материале были получены аналитические выражения для расчета напряженного состояния и распределения примесей у ветвящейся полосы сдвига. Было установлено, что ветвление полосы сдвига способствует перераспределению в аморфной матрице фаз в зависимости от соотношения между величинами радиусов атомов матрицы и примеси.

### Список литературы

1. Косевич А.М., Бойко В.С. Дислокационная теория упругого двойникования кристаллов //Успехи физических наук. – 1971. – Т. 104, № 2. – С. 101-255.
2. Глезер А.М., Молотиллов Б.В. Структура и механические свойства аморфных сплавов. – М.: Металлургия, 1992. – 208 с.
3. Верещагин М.Н., Шепелевич В.Г., Остриков О.М., Цыбранкова С.Н. Влияние изохронного и изотермического отжига на особенности пластической деформации при локальном нагружении поверхности аморфного сплава Fe-Cr-Mo-V-B-Si //Труды X

- Российской конференции «Строение и свойства металлических и шлаковых расплавов». Т. IV «Взаимосвязь строения и свойств различных состояний (кристаллическое, квазикристаллическое, аморфное, жидкое). – Екатеринбург – Челябинск: Изд-во Южноуральского государственного университета. – 2001. – С. 3-6.
4. Остриков О.М. Ветвление клиновидных двойников в монокристаллах висмута, деформированных сосредоточенной нагрузкой //Физика металлов и металловедение. – 1999. – Т. 87, № 1. – С. 94-96.
  5. Савенко В.С., Остриков О.М. Поля напряжений у границы клиновидного двойника //Письма в журнал технической физики. – 1997. – Т. 23, № 22. – С. 1-6.
  6. Савенко В.С., Остриков О.М. Влияние электрического тока на распределение примесей у двойниковой границы //Известия вузов. Черная металлургия. – 1998. – № 6. – С. 12-14.
  7. Верещагин М.Н., Шепелевич В.Г., Остриков О.М., Цыбранкова С.Н. Особенности пластической деформации при индентировании пирамидой Виккерса поверхности аморфного сплава Fe-Cr-Mo-V-B-Si //Физика металлов и металловедение. – 2002. Т. 93, № 5. – С. 101-104.

*Получено 29.07.2002 г.*